

с 345е + с 345о  
К-431

Кириллов А.Д. и др.

+

Б1-13-4674.



ОБЪЕДИНЕННЫЙ ИНСТИТУТ ЯДЕРНЫХ ИССЛЕДОВАНИЙ

Б1-13-4674

ДЕПОНИРОВАННАЯ ПУБЛИКАЦИЯ

Дубна 19

Без избора

ОБЪЕДИНЕННЫЙ ИНСТИТУТ ЯДЕРНЫХ ИССЛЕДОВАНИЙ

Лаборатория высоких энергий

А.Д.Кириллов, В.И.Котс, В.В.Миллер,  
Р.Т.Малашкевич, С.А.Нежданова, В.Н.Рамжин

Б1-13-4674  
мир. З62

КАНАЛ, ФОРМИРУЮЩИЙ ПУЧОК АНТИПРОТОНОВ  
С ИМПУЛЬСОМ 2,7 ГЭВ/С.

С.Ф.2598

ГАРАНТИЯ  
ИСПОЛНИТЕЛЬНОГО ОБРАЗОВАНИЯ  
25 августа 69

S

г.Дубна, 1969 г.

## ВСТУПЛЕНИЕ.

Канал, формирующий пучок антiproтонов с импульсом 2,7 Гэв/с, предназначался для облучения 2-метровой пропановой пузырьковой камеры антiproтонами. Строительство его началось в январе 1965 года, наладка была закончена в феврале 1966 г. Канал имеет две сепарационные ступени (сепарация электростатическая) с импульсным и массовым разделением в первой ступени и последующей массовой сегрегацией во второй.

В этой работе описан метод настройки канала, формирующего пучок заряженных частиц, и приведены параметры пучка антiproтонов.

## I. ОПИСАНИЕ КАНАЛА

Общий вид антiproтонного канала с импульсом 2,7 Гэв/с показан на рис. I.

Канал протяженностью 64 м расположен в малом измерительном зале и корпусе ТБ синхрофазотрона ОИЯИ.

Мишень 15Р установлена в I квадранте синхрофазотрона. Материал мишени - латунь, размеры - 3 x 3 x 100 мм<sup>3</sup>, угол выхода вторичных частиц - 0°. Положение мишени:

$\Delta R = -30$  мм (с внутренней стороны центральной орбиты);

$\Delta Z = -25$  мм (вниз от средней плоскости камеры ускорителя) x;

$\mathcal{S} = 640$  мм (от оси окна № 60 к окну № 59 синхрофазотрона).

Анализ частиц по импульсу и знаку осуществляется магнитным полем ускорителя. Отрицательные частицы с импульсом 2,7 Гэв/с, пройдя в поле ускорителя 3 м, разворачиваются этим полем наружу и выходят из ускорителя под углом 25° к прямолинейному промежутку. Сброс первичных протонов на мишень 15Р происходит при максимальной длительности в/ч начки ускоряющего напряжения, т.е. импульс первичных протонов максимальен для нашего ускорителя и равен 10,7 Гэв/с.

Канал состоит из 2 сепарационных ступеней (сепарация электростатическая) с импульсным и массовым разделением в I ступени и с последующей массовой сепарацией во II.

x) Ось протонного пучка в I квадранте синхрофазотрона в районе установки мишени находится на 25 мм ниже средней плоскости камеры синхрофазотрона.

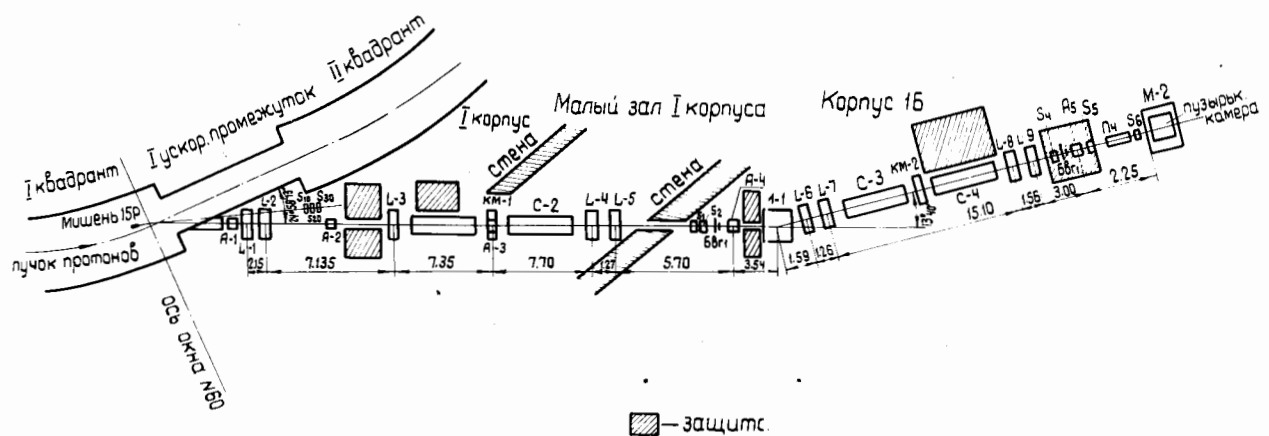


Рис.1. Общий вид антипротонного канала.

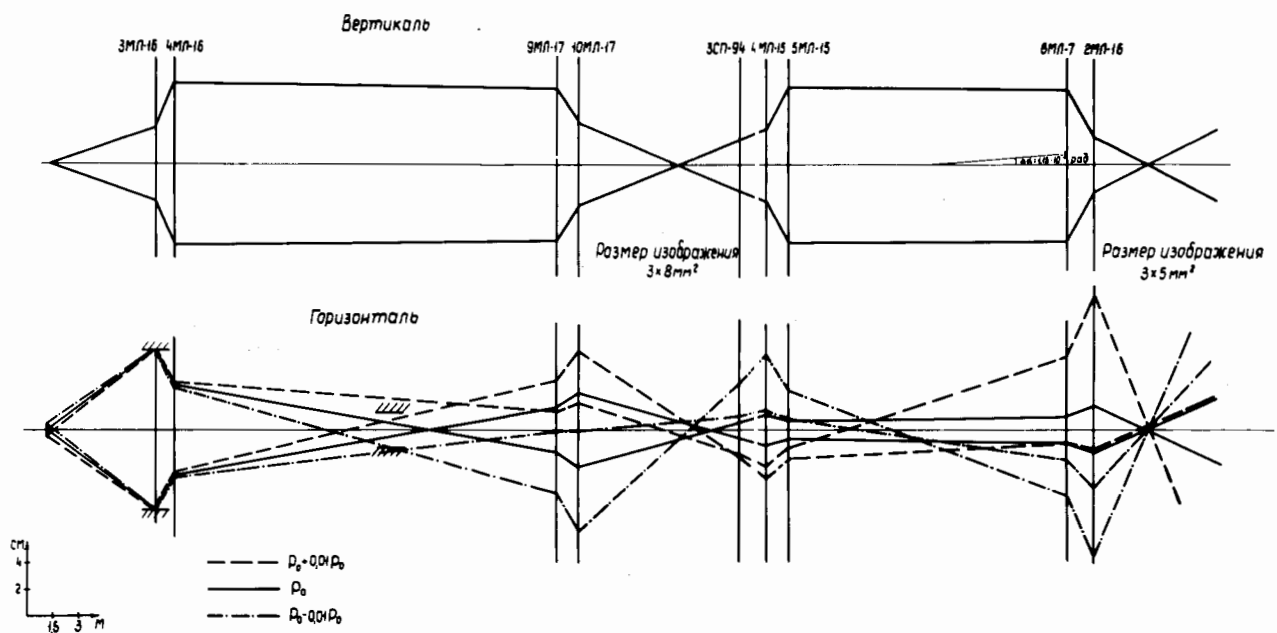


Рис.2. Оптическая схема канала.

Оптическая схема канала дана на рис.2. Апертурный коллиматор А-1, имеющий щель  $28 \times 120 \text{ мм}^2$ , установлен в первой магнитной линзе Л1.

Телесный угол канала -  $0,6 \cdot 10^{-4}$  стерад.

Дублет квадрупольных линз Л1 и Л2 (линзы типа МЛ-16) формирует в вертикальной плоскости параллельный пучок, который проходит через первый сепаратор, состоящий из 2 сепараторных бочек С1 и С2 с пластинами длиной 5,5 м (в каждой бочке) и зазором 7 см; напряжённость поля 50 кв/см.

Конец 1 бочки и начало 2 приподняты относительно оси канала на 26 мм (пояснения в разделе "Сепарация"). Выведение пучка на ось канала осуществляется компенсирующим магнитом КМ-1 (типа СП-10), расположенным между сепараторными бочками.

Дублет Л1, Л2 формирует промежуточное изображение в горизонтальной плоскости в магните КМ-1, где установлен импульсный коллиматор А-3 с щелью  $100 \times 26 \text{ мм}^2$ .

Второй дублет квадрупольных линз Л4, Л5 (линзы типа МЛ-17) фокусирует пучок в вертикальной плоскости на первую массовую щель А-4 ( $5 \times 20 \text{ мм}^2$ ), а в горизонтальной - на 2 м дальше.

В начале второй ступени канала установлен магнит М-1 (типа СП-94), который поворачивает пучок на  $13^0 40'$ , частично компенсируя дисперсию. Дублет линз Л6, Л7 (линзы типа МЛ-15) вновь формирует в вертикальной плоскости параллельный пучок, который проходит через вторую сепарационную ступень, состоящую из элементов, аналогичных первой ступени (двух сепараторных бочек и компенсирующего магнита между ними).

Последний дублет Л8, Л9 (линзы типа МЛ-7, МЛ-16) фокусирует

пучок в вертикальной плоскости на 2 массовую щель А-5 ( $5 \times 20 \text{ мм}^2$ ), а в горизонтальной - на 3 м дальше.

Весь путь от мишени до 2 массовой щели частицы пучка проходят в вакууме (вакуумпровод, сепараторы), что предотвращает уширение пучка из-за рассеяния частиц на воздухе.

## П. РАСЧЁТ ОПТИЧЕСКОЙ СИСТЕМЫ КАНАЛА

### I. Расчёт положения мишени

При выборе местоположения канала учитывалась возможность размещения оборудования в здании синхрофазотрона и измерительном корпусе ИБ. После того, как примерный план размещения оборудования был выбран и определены координаты канала в свободном пространстве (вне магнитного поля ускорителя), для нахождения положения мишени в камере ускорителя был произведен расчёт траектории в направлении, обратном движению частиц с мишени. Расчёт производился на электронно-счётной машине М-20 по стандартной программе И047-2. В результате расчёта получены координаты:

$$R = 2798,096 \text{ см}$$

$$\varphi = 1,47999 \text{ рад.}$$

Затем по программе И047-3 были определены величины, характеризующие фокусировку пучка полем ускорителя: положения мнимых источников, коэффициенты увеличения в горизонтальной и вертикальной плоскостях, а также дисперсия частиц по импульсу.

Оказалось, что в нашем случае пучок частиц, выходящих из ускорителя, дефокусируется в горизонтальной и вертикальной плоскостях, дисперсия же частиц по импульсу, вносимая магнитным полем ускорителя, равна  $D_o = 0,43 \text{ см}/\text{I}\% \frac{\Delta P}{P}$ .

## 2. Выбор оптической схемы канала для вертикальной плоскости

Пусть пучок частиц с импульсом  $P_0$  и скоростями  $\beta_1$  и  $\beta_2$  фокусируется одним дублетом квадрупольных линз на расстоянии  $f_2$ , проходя через сепаратор (рис.3). Тогда угловая сепарация

$$\Delta\alpha_{12} = \frac{eEl(\frac{f_1}{\beta_1} - \frac{f_2}{\beta_2})}{P_0}$$

в конечном изображении преобразуется в линейную сепарацию, которая в рассматриваемом случае равна:

$$\delta = \Delta\alpha \cdot (f_2 - \frac{\ell}{2}).$$

Здесь  $e$  - кратность заряда движущейся частицы,

$E$  - напряжённость электростатического поля в в/см,

$\ell$  - длина пластин сепаратора в см,

$P_0$  - импульс частиц в эв,

$$\beta = \frac{V}{c} - \text{ относительная скорость частиц.}$$

Качество сепарации определяется коэффициентом сепарации:

$$\eta = \frac{\delta}{I},$$

где  $I$  - размер конечного изображения для монохроматического пучка.

$$I = VT,$$

$V = \frac{f_1}{f_2}$  - коэффициент увеличения дублета,

$T$  - вертикальный размер мишени.

Тогда  $\eta = \frac{\Delta\alpha \cdot (f_2 - \frac{\ell}{2}) \cdot f_1}{f_2 \cdot T} = \frac{\delta}{I} \cdot \frac{\Delta\alpha}{f_2 \cdot T} \cdot \left(f_2 - \frac{\ell}{2}\right) = \frac{\mathcal{D}}{S} \cdot \frac{\Delta\alpha}{T} \left(1 - \frac{\ell}{2f_2}\right)$ ,

так как  $f_1 = \frac{\mathcal{D}}{S}$ .

Из приведенной формулы видно, что наибольший коэффициент сепарации будет при  $f_2 \rightarrow \infty$ , т.е. для параллельного пучка, проходящего через сепаратор,

$$\eta_{f_2 \rightarrow \infty} = \frac{\mathcal{D}}{S} \cdot \frac{\Delta\alpha}{T}$$

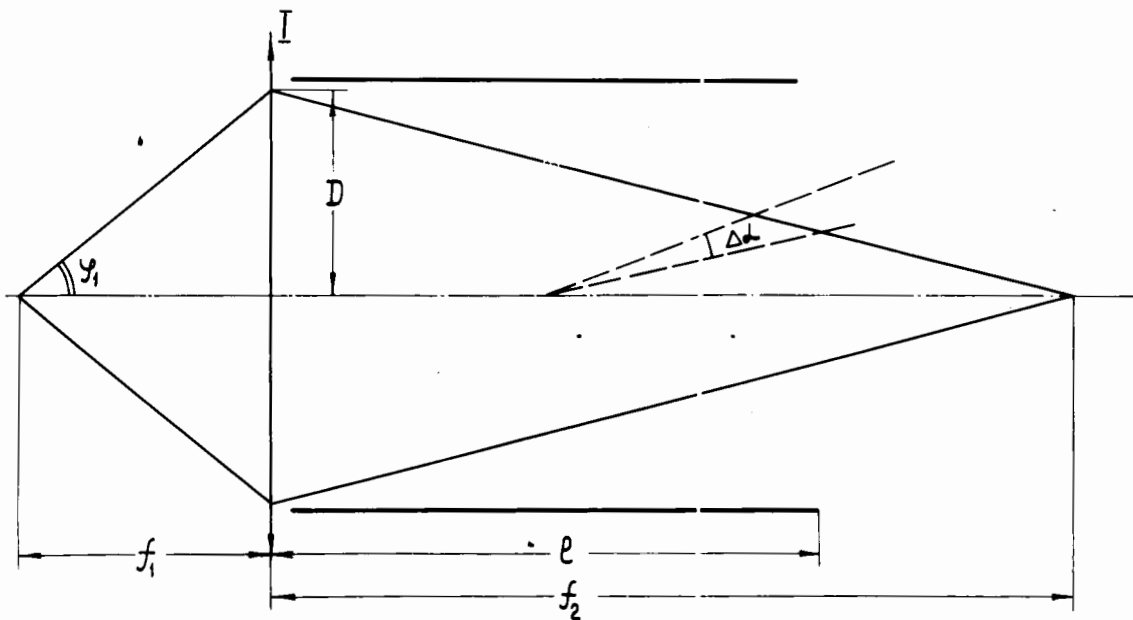


Рис.3. Прохождение через сепаратор сходящегося пучка.

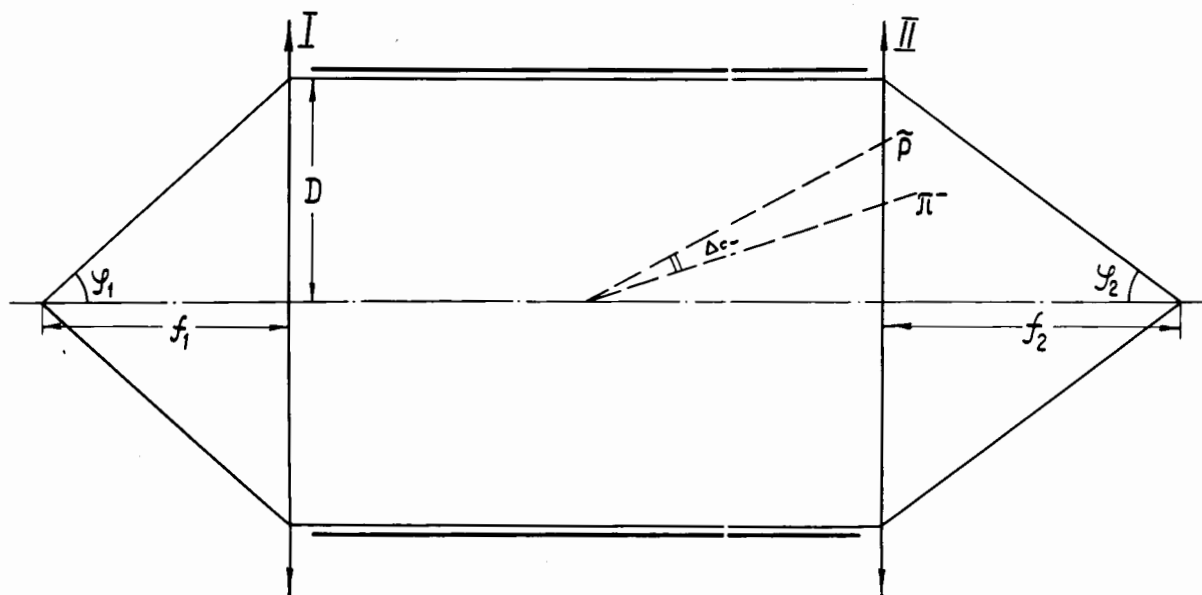


Рис.4. Прохождение через сепаратор параллельного пучка.

Помещая на выходе из сепаратора второй дублет линз, который фокусирует пучок на массовую щель, и используя все преимущества параллельного пучка, приближаем изображение к сепаратору.

Для параллельного пучка (рис.4) угловая сепарация будет, естественно, та же, линейная же станет равной

$$\delta' = \Delta\alpha \cdot f_2.$$

Коэффициент сепарации

$$\eta = \frac{\delta'}{I} = \frac{\Delta\alpha \cdot f_2}{V \cdot T} = \frac{f_1 \cdot \Delta\alpha}{T} = \frac{\mathcal{D}}{\mathcal{Y}} \cdot \frac{\Delta\alpha}{T},$$

так как коэффициент увеличения системы для параллельного пучка между дублетами

$$V = \frac{f_2}{f_1}.$$

Итак, величина коэффициента сепарации системы зависит от размеров пучка в сепараторе -  $\mathcal{D}$ , входной угловой апертуры -  $\mathcal{Y}$ , размеров источника -  $T$  и не зависит от схемы включения конечного объектива. Величина  $\mathcal{D}$  в реальной системе ограничена расстоянием между пластинами сепараторов и может быть не более 7 см для наших сепараторов. Величина же угловой апертуры входа  $\mathcal{Y}_1$  зависит от расстояния между мишенью и первым дублетом и от схемы включения первого дублета.

Положение мишени в нашем случае было фиксированным, поэтому увеличения сепарации можно было добиться только путём выбора соответствующей схемы включения первого дублета.

На рис.5а и 5б показана замена дублета линз, включённых по схеме ДФ и ФД, толстой линзой. Фокусные расстояния этой линзы и положения главных плоскостей определялись по формулам геометрической оптики:

$$f = \frac{F_1 \cdot F_2}{F_1 + F_2 - d}; \quad x = d \frac{F}{F'_2},$$

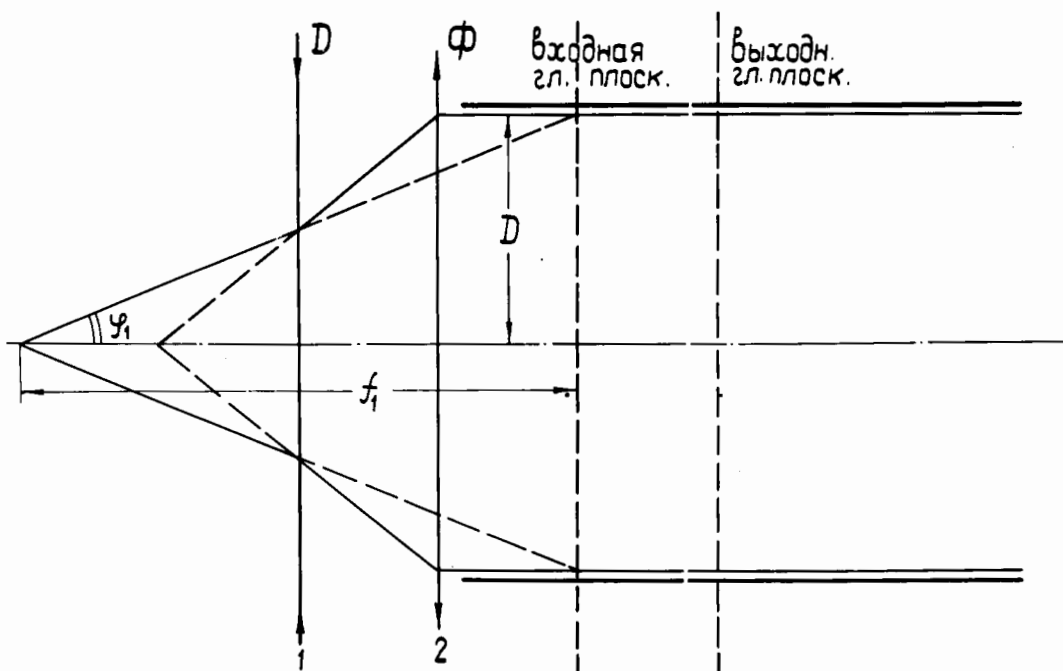


Рис.5а. Замена дублета линз, включённых по схеме  $\Delta\Phi$ , толстой линзой.

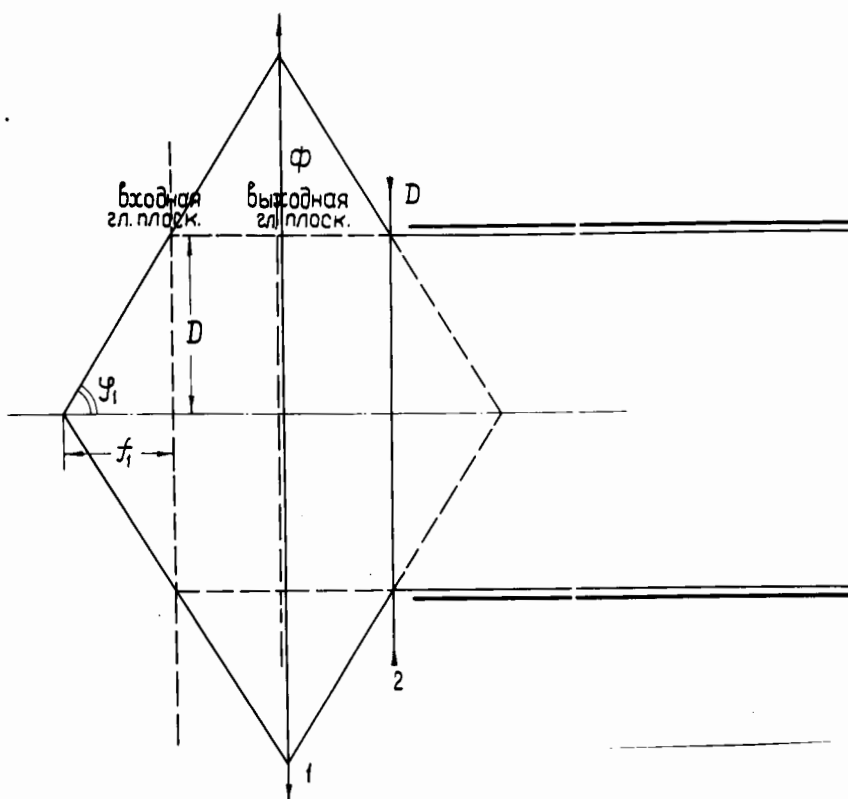


Рис.5б. Замена дублета линз, включённых по схеме  $\Phi\Delta$ , толстой линзой.

если  $d$  - расстояние между линзами, а  $F_1$  и  $F_2, F_2'$  - фокусные расстояния первой и второй линз соответственно.

Рис.5а и 5 б наглядно показывают преимущество в сепарации ДФ дублета перед дублетом ФД. Из тех же рисунков видно, что ради увеличения сепарации приходится жертвоовать интенсивностью.

Схема включения конечного дублета не влияет прямо на коэффициент сепарации, так как и линейное разделение и размер изображения прямо пропорциональны общему коэффициенту увеличения системы  $V$ .

$$\eta = \frac{f_2 \cdot d \alpha}{V \cdot T} , \text{ где } f_2 = V \cdot f_1 .$$

Однако при неизменной схеме включения первого дублета размер изображения и линейное разделение на массовой щели в случае включения последнего дублета по схеме ДФ существенно меньше, чем при включении его по схеме ФД, а, следовательно, рассеяние пучка на элементах второй половины сепарационной ступени ухудшает качество сепарации в случае включения последнего дублета по схеме ДФ по сравнению с включением его по схеме ФД.

На основании изложенного оптическая схема вертикальной плоскости для I и II сепарационных ступеней была выбрана следующая: первый дублет ДФ формирует параллельный пучок, проходящий через сепаратор, второй дублет ФД фокусирует пучок на массовую щель.

### 3. Оптическая схема канала для горизонтальной плоскости

Как уже указывалось выше, анализ частиц по импульсу в канале осуществляется магнитным полем ускорителя. Обычно для каналов с массовой сепарацией характерно выделение нужного интервала импульсов до сепараторов (пучок должен быть сформирован таким образом, чтобы он не задевал пластины сепаратора), а для обычных каналов ограничение по импульсу проводится как можно раньше.

Получение достаточной дисперсии для выделения нужного  $\Delta P$  достигается либо магнитным полем ускорителя, либо специальным магнитом, установленным перед первым дуплетом или за ним.

В описываемом канале дополнительный анализирующий магнит не устанавливался, и выделение нужного интервала импульсов осуществлялось за счёт начальной дисперсии, вносимой магнитным полем ускорителя.

Импульсный коллиматор был установлен в середине I сепарационной ступени в магните KM-I. Схема включения линз первого дублета ФД обеспечила в месте установки импульсного коллиматора на расстоянии 16,5м от первого дублета дисперсию  $D_d = 18 \text{ мм}$  на  $\frac{\Delta P}{P_0} = 1\%$ , а импульсный коллиматор с отверстием в 26 мм выделял  $\Delta P = \pm 0,65\% P_0$ . Импульсное разделение в месте установки коллиматора составляло  $\frac{D_d}{T_r} = \frac{D_o \cdot V_{1,2}}{T_r \cdot V_{1,2}} = 1,43$ . Дополнительной очистки пучка после прохождения импульсного коллиматора не проводилось, так как установка магнита требовала значительного удлинения канала. Такое нарушение правил формирования сепарированных пучков привело, естественно, к некоторому увеличению фона на первой массовой щели, однако с целью экономии места пришлось пойти на это.

Как указывалось выше, второй дублет линз Л4, Л5 фокусирует пучок в горизонтальной плоскости ближе на 2 м к ЗСП-94, чем в вертикальной. Это было вызвано тем, что при приближении изображения в горизонтальной плоскости к Л5 пучок не входит в апертуру последней линзы Л9.

Последний дублет линз Л8, Л9 формирует пучок в горизонтальной плоскости нужной для пропановой камеры конфигурации.

График средней дисперсии представлен на рис.6.

10291

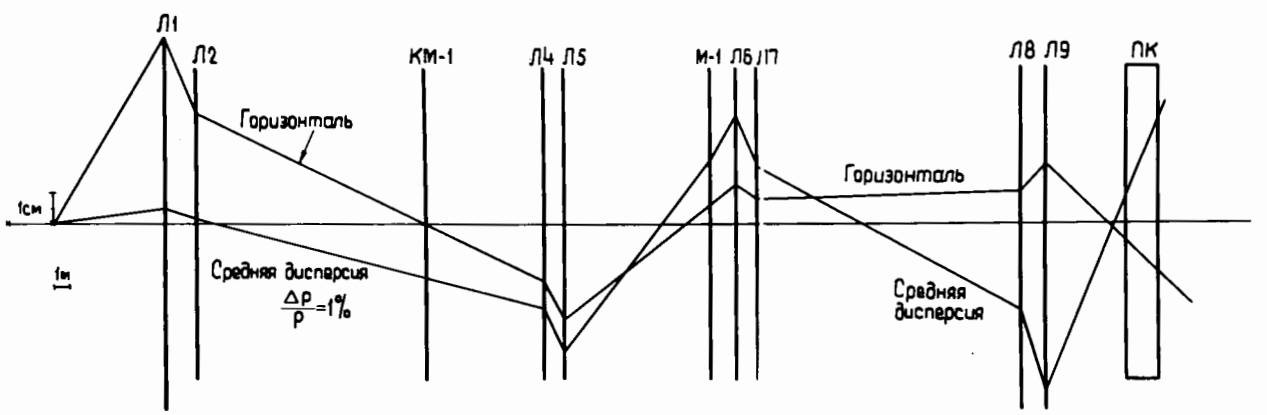


Рис.6. График средней дисперсии.

10201

В расчётах магнитная квадрупольная линза рассматривалась как две тонких линзы, независимо действующих в горизонтальной и вертикальной плоскостях. Причём если в горизонтальной плоскости квадрупольная линза оказывает на пучок фокусирующее действие, то в вертикальной она дефокусирует его.

Фокусное расстояние квадрупольной линзы в фокусирующей плоскости определялось по формуле:

$$f_+ = \frac{1}{\sqrt{K} \cdot \sin \sqrt{K} \ell},$$

Для определения фокусного расстояния дефокусирующей линзы через известное фокусное расстояние фокусирующей линзы применялась формула:

$$f_+ + f_- = \frac{\ell}{3},$$

дающая точность не хуже 1%.

Расстояние до изображения считалось по формуле геометрической оптики:

$$\ell = \frac{a \cdot f_+}{a - f_+},$$

где  $\ell$  - эффективная длина линзы в см,

$K$  - коэффициент, равный  $\frac{300 \cdot G}{P_0}$ ,

$G$  - градиент линзы в  $\frac{\text{эрг}}{\text{см}}$ ,

$P_0$  - импульс частиц в эв.

Точный подбор режимов линз и магнитов, а также расчет основных параметров пучка осуществлялся по программе "Фокус".

#### 4. Сепарация.

В электростатическом поле на заряженную частицу действует

сила  $\vec{F} = e\vec{E}$ , пропорциональная заряду частицы и напряжённости поля  $E$ . Под действием этой силы, одинаковой для всех частиц, имеющих заряд  $e$ , частица смещается в направлении пластины с противоположным зарядом. За время  $t$  ( $t$  - время пролёта данной частицей области с полем  $E$ ) она отклонится от первоначального направления движения на расстояние  $h = \frac{at^2}{2}$ , где  $a$  - ускорение под действием силы  $F$ . И если ввиду малости отклонения путь, проходимый частицей в электростатическом поле, принять равным  $\ell$ , то

$$h = \frac{F \cdot t^2}{m \cdot \lambda} = \frac{e E \cdot \ell^2}{2 m v^2} = \frac{e E}{2 p v} \cdot \ell^2,$$

т.е. заряженная частица в электростатическом поле движется по параболе (рис.7). Из этого следует, что тангенс угла отклонения частицы от первоначального направления

$$\operatorname{tg} \alpha = \frac{2h}{\ell} = \frac{e E \ell}{p v},$$

или для импульса частицы в лабораторной системе единиц [эв/с]

$$\operatorname{tg} \alpha = \frac{e E \ell}{p \beta},$$

а для малых углов

$$\alpha = \frac{e E \ell}{p \beta}.$$

Разница же в углах отклонения частиц, имеющих различную скорость

$$\Delta \alpha_{12} = \frac{e E \ell}{p} \left( \frac{1}{\beta_1} - \frac{1}{\beta_2} \right).$$

Обычно отклонение частиц от горизонтального направления в сепараторах компенсируется поперечным магнитным полем, либо двумя внешними компенсирующими магнитами, стоящими по обеим сторонам сепаратора. В описываемом канале был применён один компенсирующий магнит, установленный между двумя бочками сепараторов, в каждой из которых пучок отклоняется на угол  $\frac{\alpha}{2}$ . Траектория частиц в нашем случае имела вид, показанный на рис.8.

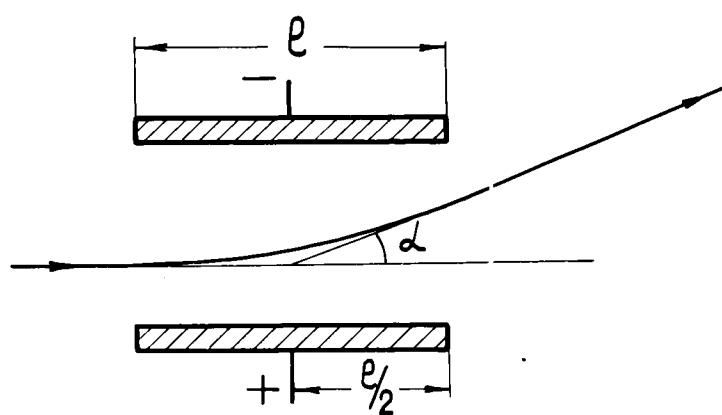


Рис.7. Траектория движения заряженной частицы в электростатическом поле.

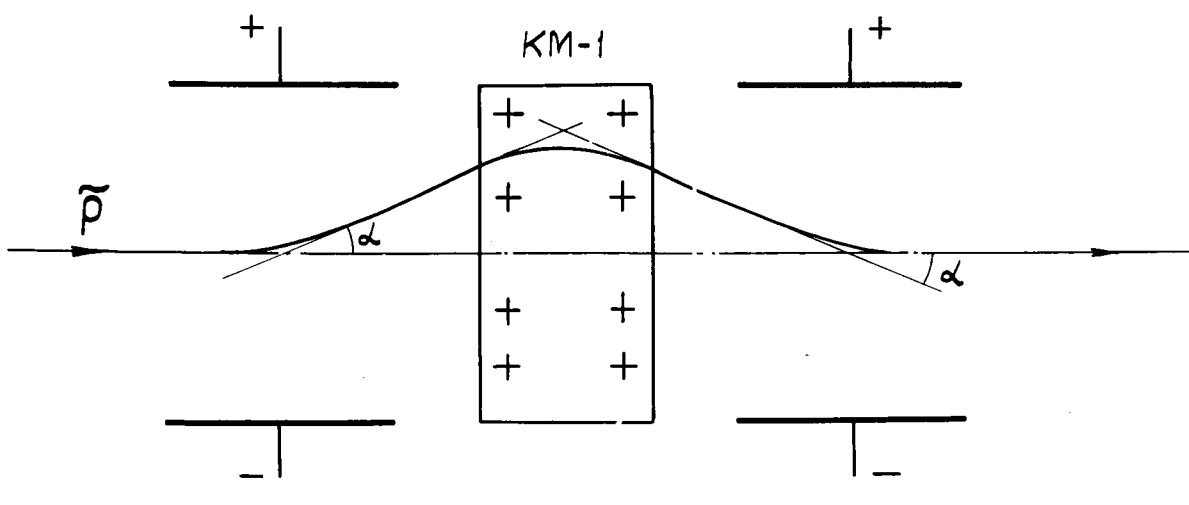


Рис.8. Траектория движения отрицательных частиц в случае установки одного компенсирующего магнита между 2 сепараторами.

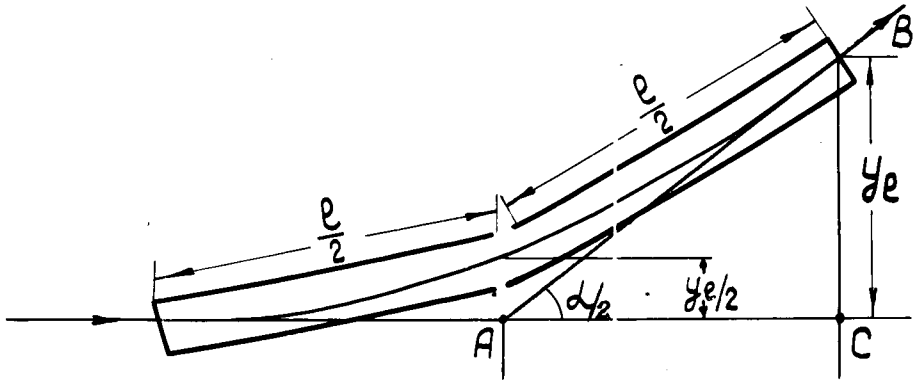


Рис.9. Схема установки 2 бочек сепаратора, составляющих половину сепарационной ступени.

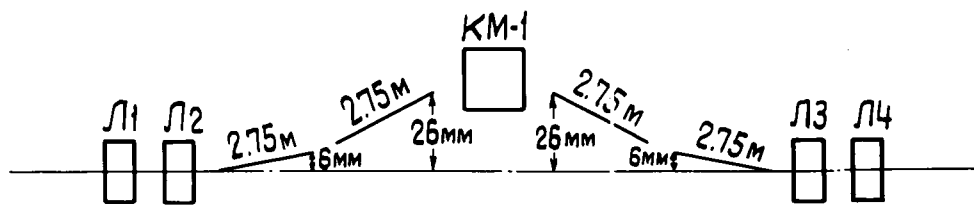


Рис.10. Схема установки бочек сепаратора в первой ступени антипротонного канала.

Для исключения рассеяния пучка в сепараторе его пластины выставлялись так, чтобы осевая линия сепаратора максимально совпадала с параболической траекторией частиц: каждая половина сепарационной ступени (5,5 м) была составлена из двух бочек (с длиной пластин 2,75 м), каждая бочка имела свой угол наклона (рис.9).

Из уравнения параболы  $y = Kx^2$ , вследствие малости угла отклонения,  $x \approx \ell$  и  $y_{x=\ell} = K\ell^2$ ; из  $\Delta ABC$   $y_{x=\ell} = \frac{\ell}{2} \cdot \operatorname{tg} \frac{\alpha}{2}$ , тогда  $K = \frac{\operatorname{tg} \frac{\alpha}{2}}{2\ell}$ , а  $y = \frac{\operatorname{tg} \frac{\alpha}{2}}{2\ell} \cdot x^2$ .

Для нашего случая  $y_{x=\frac{\ell}{2}}$  составило 6,5 мм,  $y_{x=\ell}$  - 29 мм.

Общий вид I сепарационной ступени изображён на рис.10.

Угловая сепарация  $\rho$  и  $\pi^-$ -мезонов для I и II ступеней составила I, I мрад при  $E = 50$  кв/см,  $\ell = 11$  м,  $P_0 = 2,72$  Гэв/с.

Ожидаемое линейное разделение  $\rho$  и  $\pi^-$ -мезонов на первой массовой щели составило I5 мм, на II - I0 мм.

### III. ЮСТИРОВКА

Юстировка канала предполагает совмещение продольных осей линз с осью канала и производится с помощью теодолита. Определение же продольной оси линзы осуществлялось методом, который заключается в том, что в кювету с коллоидным раствором парамагнитной соли ( $FeCl_3$ ) добавляют каплю диамагнитной жидкости той же плотности; кювету, помещенную в магнитном поле линзы, освещают прямым светом незначительной мощности (15-20 вт), и по расположению капли диамагнитной жидкости (например,  $H_2O$ ) с помощью теодолита определяют магнитную ось линзы. Точность способа зависит от размеров капли диамагнитной жидкости и от напряжённости магнитного поля линзы. Для капли диаметром 1,2 мм (во время измерения она

вытягивается вдоль оси линзы) в магнитной линзе типа МЛ-15 с напряжённостью 700 эрст/см средняя ошибка определения центра не превышает 0,05мм. Для линз с низкой напряжённостью магнитного поля ( линзы типа МЛ-5 ) точность не хуже 0,2 мм /7/.

Достаточна ли точность установки линз 0,2 мм ? На этот вопрос легко ответить на примере рассматриваемого канала. Будем говорить о горизонтальной плоскости, где коэффициент увеличения I сепарационной ступени  $> 1$  (2,13 ).

Если неточность в установке линзы II составляет  $m$  мм, то легко подсчитать сдвиг оси пучка относительно оси канала в наиболее ответственных местах - на импульсном коллиматоре и массовой щели ( рис. II ).

Из рис. II видно, что сдвиг оси пучка относительно оси канала в месте установки импульсного коллиматора равен:

$$x_2 = m (1 + V_1) \cdot V_2 ,$$

а на массовой щели:

$$x_4 = m (1 + V_1) \cdot V_2 \cdot V_3 \cdot V_4 ,$$

$V_i = \frac{b_i}{\alpha_i}$  - коэффициент увеличения линзы. При  $m = 0,2$  мм,  $x_2 = 1,7$  мм, а  $x_4 = 1,04$  мм. Если же неточность установки II составляет, например, 1 мм, то  $x_2 = 8,5$  мм, а  $x_4 = 5,2$  мм, что при ширинах импульсного коллиматора 26 мм и массовой щели 20 мм является недопустимым.

Итак, точность установки линз не хуже 0,2 мм для описываемого канала необходима и достаточна.

Для совпадения продольной оси линзы с горизонтом центр ее определялся при юстировке в двух точках по длине линзы.

Производилось также совмещение поперечной горизонтальной оси

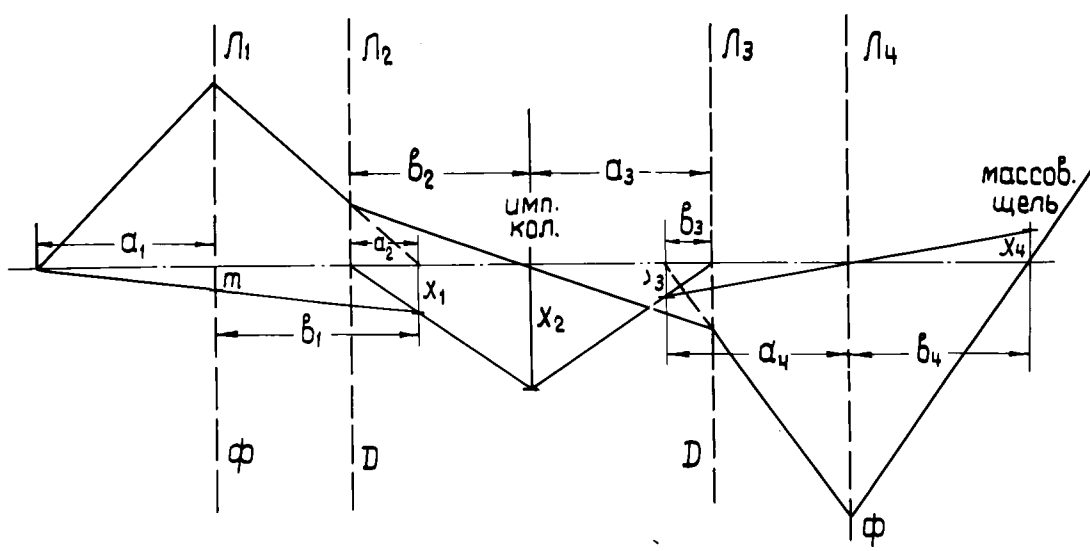


Рис. II. Сдвиг оси пучка в случае неточной установки линз.

линзы с горизонтом при помощи мегаллического уровня, так как перекос поперечных осей линзы относительно осей пучка приводит к искажению изображения /6/.

## IУ. ЭКСПЕРИМЕНТАЛЬНАЯ НАСТРОЙКА КАНАЛА.

### РЕЗУЛЬТАТЫ

Так как основными оптическими элементами, применяемыми для формирования пучков вторичных заряженных частиц, являются магниты и линзы, то расчёт канала заключается в определении, при выбранной оптической схеме и геометрии, токов, при которых возможно получение пучка с нужными параметрами. Значения токов требуют последующей корректировки в силу того, что при расчетах использовались недостаточно точные величины напряжённости поля в магнитах и линзах ( 1%), требуемые расстояния между элементами канала не всегда выдерживались, а также не учитывались сферические aberrации магнитных элементов и влияние рассеянных полей.

Таким образом, экспериментальная настройка канала с пучком применяется для получения действительных значений токов в линзах и магнитах, при которых пучок формируется по всему каналу согласно принятой оптической схеме, и параметры его соответствуют заданным . Для настройки канала применялась регистрирующая аппаратура, размещение которой показано на общей схеме расположения оборудования магнитного канала ( рис. I). "Монитором" служили сцинтилляционные счётчики  $S_1$ ,  $S_2$  для I сепарационной ступени и  $S_4$ ,  $S_5$  - для II , с размером сцинтилляторов перекрывающими весь пучок ( 150 x 150  $\text{мм}^2$ ).

Для снятия профиля пучка применялись две пары сцинтилляционных

счётчиков с дистанционным управлением, которые могли менять координаты ( через 0,2 мм) в пределах от 0 до 250 мм.

В каждой паре счетчиков один мог менять свое положение в вертикальной плоскости, а второй - в горизонтальной.

Одна пара "бегающих" счётчиков стояла на месте I сепарационного изображения ( $B_{r1}$ ;  $B_{v1}$ ), вторая - на месте II ( $B_{r2}$ ;  $B_{v2}$ ). В "бегающих" счётчиках использовались сцинтилляторы, имеющие ширину 1 мм и длину - 150 мм. Каждый из "бегающих" счётчиков включался на совпадение со счётчиками монитора канала.

Блок-схема аппаратуры канала изображена на рис. I2.

Определение состава пучка и импульса частиц, идущих по каналу, производилось с помощью черенковского порогового счётчика с азотным наполнением ( $\text{ПЧ}$ ). В первом случае  $\text{ПЧ}$  включался на антисовпадение, во втором - на совпадение с монитором канала, который в данном опыте состоял из  $S_2$ ,  $S_4$ ,  $S_6$ , где  $S_6$  - сцинтилляционный счётчик, установленный за  $\text{ПЧ}$ , сцинтиллятор которого по размеру равен полезной апертуре порогового счётчика. Общее мониторирование осуществлялось телескопом из трёх сцинтилляционных счётчиков, расположенных в зале ускорителя ( $S_{10}$ ,  $S_{20}$ ,  $S_{30}$ ). Первый этап наладки заключался в проверке правильности определения положения мишени и точности юстировки линз канала.

Для этой цели была использована пневматическая мишень ЗВ, установленная в окне № 60 I квадранта и имеющая плечо, длина которого 640 мм, с укрепленной на ней насадкой ( см. рис.I3). По расчёту насадка должна была находиться на расстоянии 670 мм от окна № 60 по азимуту. При изменении радиуса ЗВ от  $R_o$  до  $R_o - 60\text{мм}$  было определено, что при отключенных линзах горизонтальное распределение в районе I сепарационного изображения симметрично

БЗ — блок задержки  
 У — усилитель  
 Р — размножитель  
 ЗСС — тройная схема  
 соблюдений.  
 П — пересчетная схема.

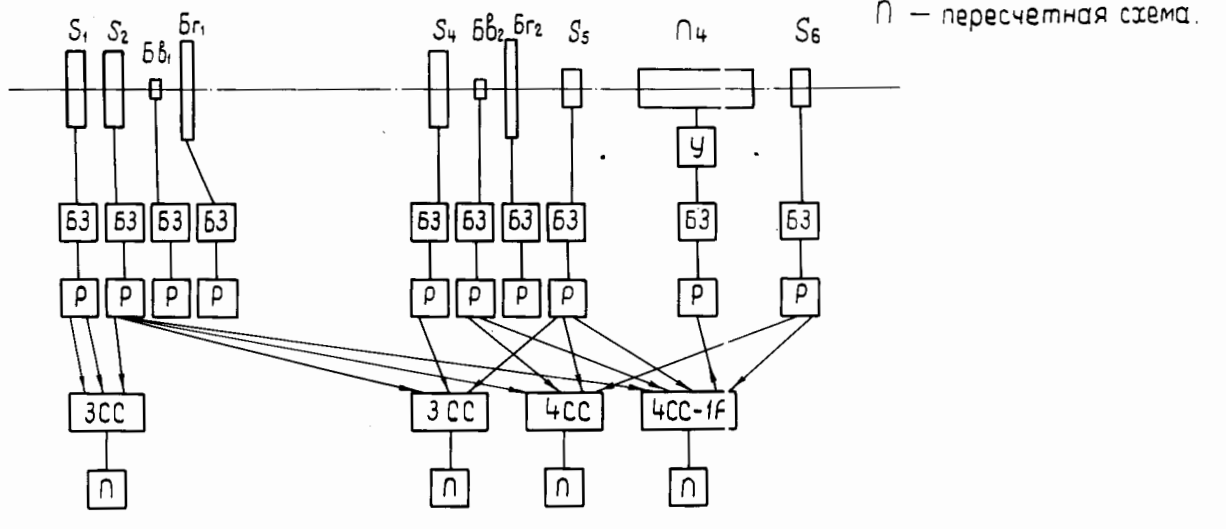


Рис. I2. Блок-схема аппаратуры канала.

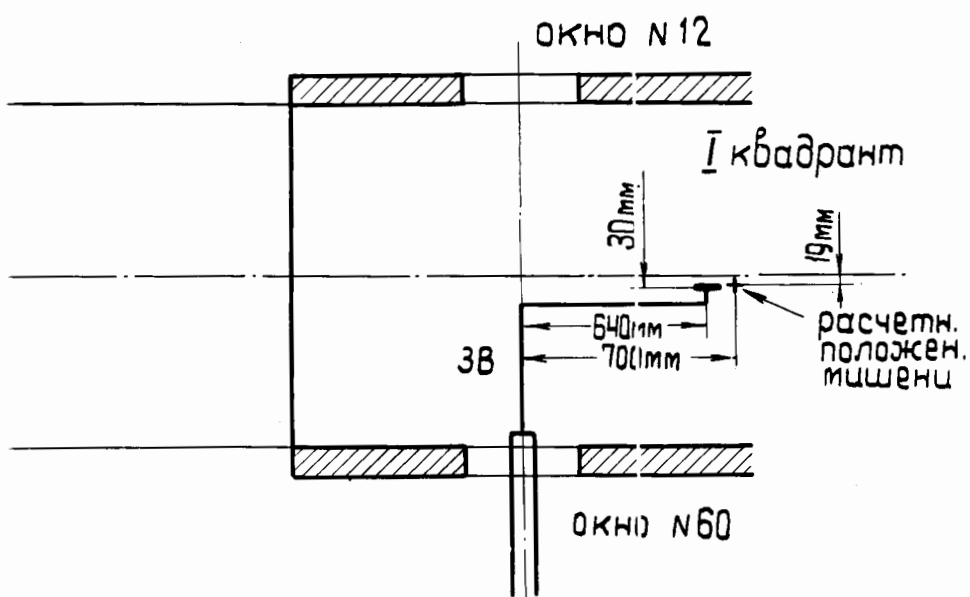


Рис. I3. Схема установки пневматической мишени ЗВ в окне № 60 первого квадранта синхрофазотрона.

относительно оси канала при  $R = R_o - 30$  мм (рис. I4).

Экспериментально подобранный радиус отличался от расчётного на 10 мм.

При последовательном включении линз I сепарационной ступени ось пучка в горизонтальной плоскости не изменила своего положения, что подтвердило хорошую точность юстировки элементов канала. Настройка оптики проводилась сначала для I ступени канала. Необходимо было подобрать (проверить) токи в линзах первого объектива ( $L_1, L_2$ ) так, чтобы промежуточное изображение в горизонтальном плане совпадало с импульсным коллиматором. С этой целью (при постоянных токах во втором дублете) в линзах  $L_1$  и  $L_2$  изменялись токи таким образом, чтобы сохранялось расчётное положение изображения в вертикальной плоскости, а в горизонтальной – перемещалось в пределах, необходимых для заведомого перехода через импульсный коллиматор (проводится несколько изменений). При каждом изменении токов фиксировалась интенсивность в канале и снимался профиль пучка в районе первой массовой щели. Зависимость интенсивности от токов в первом объективе имеет слабо выраженный максимум при токах в линзах  $L_1$  и  $L_2$ , соответствующих совпадению изображения с коллиматором.

Затем проводились аналогичные измерения для случая, когда положение изображения в горизонтальной плоскости остаётся постоянным (соответствует максимуму интенсивности), а в вертикальном – меняется.

Кривая интенсивности, в зависимости от токов в первом объективе, в этом случае имеет резко выраженный максимум. Токи в линзах первого дублета, соответствующие такому максимуму, считаются подобранными. Точность совмещения изображения с импульсным коллиматором для нашего случая оказалась равной 0,5 м.

10201

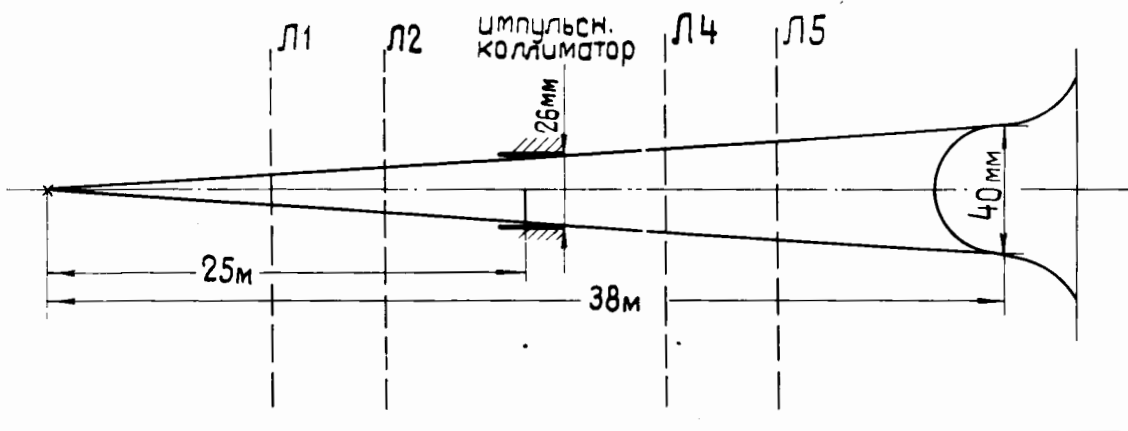


Рис. I4. Горизонтальное распределение в районе I сепарационного изображения при отключенных линзах.

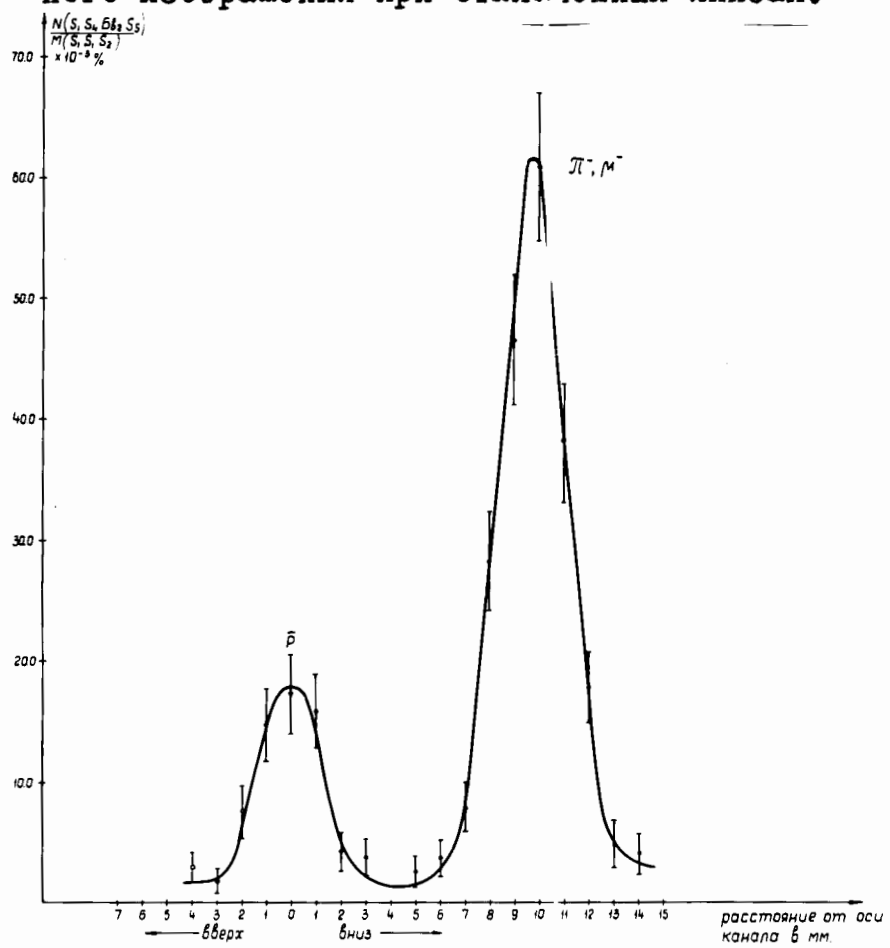


Рис. I5. Вертикальное распределение в районе II массовой щели при наведении магнитом КМ-1 на I массовую щель анти-протонов.

Экспериментально подобранные токи I-й сепарационной ступени не отличались от расчётных более чем на 2%, II-й ступени - на 4%. Настройка II ступени проводилась аналогичным методом. Размеры изображения, полученные на первой и второй массовых щелях (ширина на полувысоте), соответственно равны: вертикаль - 3 мм и 3 мм, горизонталь - 8 мм и 5 мм.

Для определения линейного разделения  $\bar{\rho}$  и  $\bar{\pi}^-$  мезонов в I сепарационной ступени была снята серия кривых на второй массовой щели при наведении компенсирующим магнитом КМ-I различных областей пучка на первую массовую щель. Наилучшее распределение было получено при наведении магнитом КМ-I на первую массовую щель области пучка, отстоящей от  $\bar{\pi}^-$  мезонов на 15 мм, где по расчёту должны были находиться антипротоны (рис.15).

Как видно из этого распределения, линейное разделение на второй массовой щели получилось равным 10 мм, а коэффициент сепарации  $\eta = \frac{d}{l} = 3,3$ .

В результате обсчёта распределения, изображенного на рис.15, были получены соотношения:

отношение  $\bar{\rho}$  к  $\bar{\pi}^-$  мезонам в конце канала -  $\frac{l}{1000} = 0,1\%$ ,

отношение  $\bar{\rho}$  к числу первичных протонов -  $\frac{l}{10^{10}} = 1 \cdot 10^{-10}$ .

Из интегрирования площади  $\bar{\rho}$  пика и  $\bar{\pi}^-$ ,  $\bar{\mu}^-$  мезонного фона этого распределения была получена очистка

0,18  $\bar{\pi}^-$ ,  $\bar{\mu}^-$  мезонов на  $1\bar{\rho}$ .

Общий коэффициент подавления обеих ступеней сепарации получился равным 5500 и оказался достаточным для того, чтобы обеспечить заданную техническими условиями очистку (на  $1\bar{\rho}$  - 0,2  $\bar{\pi}^-$ ,  $\bar{\mu}^-$  мезона).

Импульс частиц, идущих по каналу, оказался равным 2,72 Гэв/с.

#### V. ОЦЕНКА ИНТЕНСИВНОСТИ В КАНАЛЕ

Оценка интенсивности  $\bar{\pi}^-$ -мезонов в канале с учётом выбывания первичных протонов, поглощения  $\bar{\pi}^-$ -мезонов в веществе мишени и распада  $\bar{\pi}^-$ -мезонов при пролёте до монитора канала производилась по формуле:

$$N_{\bar{\pi}^-} = \frac{N_0 \cdot e^{-\tilde{\sigma}_{\bar{\pi}^-} \cdot N_m}}{\tilde{\sigma}_p - \tilde{\sigma}_{\bar{\pi}^-}} \cdot \frac{d^2\sigma}{d\Omega dp} \left\{ 1 - e^{N_m(\tilde{\sigma}_{\bar{\pi}^-} - \tilde{\sigma}_p)} \right\} \cdot e^{\frac{-L}{Z_0} \cdot \Delta \Omega \cdot dp}$$

$d^2\sigma/d\Omega dp$  - сечение рождения  $\bar{\pi}^-$ -мезонов на бериллиевой мишени взято из работы /2/ и пересчитано на латунную мишень,

$\Delta \Omega$  - телесный угол, определяющий входную апертуру канала -  $0,6 \cdot 10^{-4}$  стерад,

$\Delta p$  - интервал импульсов, равный  $2 \times 0,65\%$  для  $2,7$  Гэв/с  $\pm 0,0354$  Гэв/с,

$L$  - расстояние от мишени до монитора канала - 38м.

Ожидаемая интенсивность  $\bar{\pi}^-$ -мезонов после I сепарационной ступени совпадает с полученными нами данными, если коэффициент взаимодействия пучка с мишенью принять равным 40%, и составляет  $1400 \bar{\pi}^-$ -мезонов на  $1 \cdot 10^{10}$  первичных протонов.

Для ориентировочной оценки отношения выхода  $\bar{p}$  к выходу  $\bar{\pi}^-$ -мезонов с импульсом 2,72 Гэв/с и нулевым углом выхода рождённых в латунной мишени при импульсе первичных протонов 10,7 Гэв/с, воспользуемся кривыми выхода  $\bar{\pi}^-$ -мезонов и  $\bar{p}$ , рожденных в Be мишени первичными протонами с импульсом, близким к нашему (10,9 Гэв/с) из работы /3,4/.

Отношение числа  $\bar{p}$  к  $\bar{\pi}^-$ -мезонам, рожденным на 10 - санти-

Импульс частиц, идущих по каналу, оказался равным 2,72 Гэв/с.

#### V. ОЦЕНКА ИНТЕНСИВНОСТИ В КАНАЛЕ

Оценка интенсивности  $\bar{\pi}^-$ -мезонов в канале с учётом выбывания первичных протонов, поглощения  $\bar{\pi}^-$ -мезонов в веществе мишени и распада  $\bar{\pi}^-$ -мезонов при пролёте до монитора канала производилась по формуле:

$$N_{\bar{\pi}^-} = \frac{N_0 \cdot e^{-\tilde{\sigma}_{\bar{\pi}^-} \cdot N_p}}{\tilde{\sigma}_p \cdot \tilde{\sigma}_{\bar{\pi}^-}} \cdot \frac{d^3\sigma}{d\Omega dp} \left\{ 1 - e^{N_p(\tilde{\sigma}_{\bar{\pi}^-} - \tilde{\sigma}_p)} \right\} \cdot \frac{L}{\Delta\Omega \cdot \Delta p \cdot d}$$

$d^3\sigma/d\Omega dp$  - сечение рождения  $\bar{\pi}^-$ -мезонов на бериллиевой мишени взято из работы <sup>12/</sup> и пересчитано на латунную мишень,

$\Delta\Omega$  - телесный угол, определяющий входную апертуру канала -  $0,6 \cdot 10^{-4}$  стерад,

$\Delta p$  - интервал импульсов, равный  $2 \times 0,65\%$  для  $2,7$  Гэв/с  $\pm 0,0354$  Гэв/с,

$L$  - расстояние от мишени до монитора канала - 38м.

Ожидаемая интенсивность  $\bar{\pi}^-$ -мезонов после I сепарационной ступени совпадает с полученными нами данными, если коэффициент взаимодействия пучка с мишенью принять равным 40%, и составляет 1400  $\bar{\pi}^-$ -мезонов на  $1 \cdot 10^{10}$  первичных протонов.

Для ориентировочной оценки отношения выхода  $\bar{p}$  к выходу  $\bar{\pi}^-$ -мезонов с импульсом 2,72 Гэв/с и нулевым углом выхода рождённых в латунной мишени при импульсе первичных протонов 10,7 Гэв/с, воспользуемся кривыми выхода  $\bar{\pi}^-$ -мезонов и  $\bar{p}$ , рожденных в Be мишени первичными протонами с импульсом, близким к нашему (10,9 Гэв/с) из работы <sup>13,4/</sup>.

Отношение числа  $\bar{p}$  к  $\bar{\pi}^-$ -мезонам, рожденным на 10 - санти-

10201

метровой медной мишени, полученное нами, в 2 раза меньше отношения выходов  $\bar{P}$  и  $\bar{\pi}^-$ -мезонов, рожденных на  $Be$  и составляет  $1,3 \cdot 10^{-3}$ .

В работе /5/ приведены данные по отношению  $\frac{\bar{P}}{\bar{\pi}^-}$  с импульсом 2,7 Гэв/с, рожденными первичными протонами при энергии 8 Гэв на медной 10 - сантиметровой мишени при угле выхода  $8^0$ , полученные на Нимроде. Эти данные ниже отношения выходов  $\frac{\bar{P}}{\bar{\pi}^-}$  с  $Be$  мишени, посчитанных по эмпирической формуле из работ /3,4/, в 6 раз.

Очевидно, можно считать полученное нами отношение  $\frac{\bar{P}}{\bar{\pi}^-}$  на 10-сантиметровой медной мишени вполне удовлетворительным.

Мы благодарим И.Н.Семенюшкина за постоянный интерес к работе, Н.И.Малашкевича за помощь при введении в строй канала, сотрудников отдела ЭФА, обслуживающих линзы, магниты и сепараторы, Ю.М.Аверьянова и Н.Н.Антонова за активное участие при монтаже, наладке и работе канала.

(0201)

Л И Т Е Р А Т У Р А

- 1 . A. Minten - Cern 65 - 21 , 23 June 1966.
- 2 . D. Dekkers, J.A. Geibel, R. Mermod, G. Weber, T.R. Willitts , K. Winter, B. Jordan, M. Vivargent, N.M. King, E.J.N. Wilson . Phus. Rev., 137B, 962, 1965 .
- 3 . J.R. Sanford and C.L. Wang " Empirical formula for and  $K^-$  meson production in P - Be collision between 10 and 35 Bev/c ." Brookhaven National Laboratory , March 1, 1967 .
- 4 . J.R. Sanford and C.L. Wang " Empirical formula for  $K^+$ ,  $K^-$  meson and antiproton production in P - Be collision between 10 and 35 Bev/c ." Brookhaven National Laboratory, March 1, 1967 .
- 5 . J.D. Davies, J.D. Dowell, P.M. Hattersley, R.J. Homer, A.W. O'Dell , Nuovo Cimento Volume LIVA Number 3 , 10 April, 1968 .
6. И.М.Баженова, Л.П.Зиновьев, Р.Н.Федорова, Препринт ОИЯИ Р9-3552, Дубна, 1967 .
7. А.Д.Кириллов, Р.Т.Малашкевич, С.А.Нежданова. Авторское свидетельство № 186576 на изобретение " Способ определения положения магнитной оси квадрупольной линзы".

Рукопись поступила в издательский отдел  
25 августа 1969 г.